

ИЗВЕСТИЯ
ТОМСКОГО ОРДЕНА ОКТЯБРЬСКОЙ РЕВОЛЮЦИИ
И ОРДЕНА ТРУДОВОГО КРАСНОГО ЗНАМЕНИ
ПОЛИТЕХНИЧЕСКОГО ИНСТИТУТА имени С. М. КИРОВА

Том 244

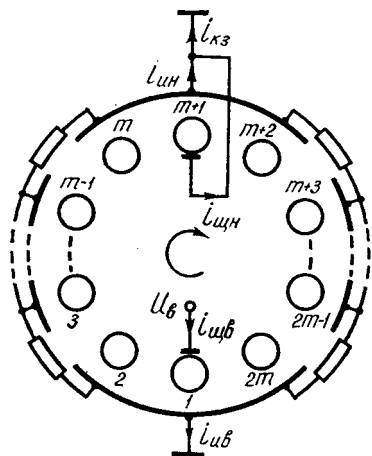
1972

К РАСЧЕТУ МГНОВЕННЫХ ЗНАЧЕНИЙ ТОКОВ ЭСГП
В РЕЖИМЕ КОРОТКОГО ЗАМЫКАНИЯ

В. М. ФЕДЯКИН, В. Д. ЭСЬКОВ

(Представлена научным семинаром каф. ТОЭ)

При расчете энергетических характеристик электростатического генератора с транспортерами-проводниками (ЭСГП) последний обычно рассматривают как квазистатическую систему, описываемую в каждый момент времени уравнениями электростатики с сосредоточенными параметрами, связывающими заряды и потенциалы отдельных элементов машины [1, 2]. Зная закон изменения этих параметров во времени, можно получить представление о динамике процессов, происходящих в ЭСГП. Такой подход и используется в настоящей работе для определения мгновенных значений токов в электрических цепях генератора на примере режима короткого замыкания ЭСГП с равномерным распределением потенциала по статору, одной парой полюсов и кондукционной схемой возбуждения, принципиальная схема которого приведена на рис. 1.



ко. Коммутация осуществляется либо с помощью механического контакта, либо посредством искрового разряда. Каждая из щеток расположена таким образом, что коммутирует только с транспортером, находящимся против середины соответствующего индуктора. Щетка возбуждения имеет потенциал U_B , а щетка нагрузки в режиме короткого замыкания имеет потенциал, равный нулю, так же, как и все элементы статора.

В силу симметрии системы все процессы, в ней происходящие, повторяются с периодом коммутаций $T = \frac{1}{2mn}$, поэтому достаточно рассмотреть лишь один такой период, приняв за $t=0$ момент начала очередной коммутации.

Время коммутации мало (отличается на несколько порядков от T [3]), то есть она происходит при практически неподвижном роторе. Поэтому можно коммутационные процессы рассматривать на статической модели, а при анализе динамической модели не учитывать время коммутации.

При этих условиях определим токи в цепях генератора (обозначены на схеме рис. 1):

$i_{\text{шв}}$, $i_{\text{шн}}$ — токи в щетках возбуждения и нагрузки,

$i_{\text{ив}}$, $i_{\text{ин}}$ — токи в цепях соответствующих индукторов,

$i_{\text{кз}}$ — ток короткого замыкания ЭСГП,

суммируя по принципу наложения их составляющие в динамической и статической моделях.

Токи в динамической модели

Здесь токи в щетках равны нулю, а токи в цепях индукторов можно найти как скорость изменения зарядов этих индукторов:

$$i_{\text{ив}} = \frac{dQ_{\text{в}}}{dt}; \quad i_{\text{ин}} = -\frac{dQ_{\text{н}}}{dt}. \quad (1)$$

Для определения же зарядов, как показано в [2], целесообразно использовать уравнения с частичными емкостями, причем, не внося существенных погрешностей, в расчете достаточно учесть лишь следующие:

C_0 — частичная емкость транспортера относительно заземленных элементов конструкции ЭСГП,

C_2 — частичная емкость между соседними транспортерами,

C'_3 , C_1 , C_3 , C_5 — частичные емкости между элементом статора, противолежащего в момент $t=0$ n -му транспортеру, и транспортерами $n+1$, n , $n-1$, $n-2$ соответственно.

В первом приближении можно считать не зависящими от времени частичные емкости C_0 , C_2 и сумму всех остальных (хотя каждая из последних в отдельности изменяется), тогда величина

$$C_{\text{в}} = C_0 + C_1 + C_3 + C'_3 + C_5 = \text{const}$$

определяется, как в [2].

При выбранных обозначениях

$$\left. \begin{aligned} Q_{\text{н}} &= C_1 \sum_{n=m+1-\frac{s-1}{2}}^{m+\frac{s-1}{2}} U_n + C_3 \sum_{n=m-\frac{s-1}{2}}^{m+\frac{s-1}{2}} U_n + C'_3 \sum_{n=m+2-\frac{s-1}{2}}^{m+2+\frac{s-1}{2}} U_n + C_5 \sum_{n=m-1-\frac{s-1}{2}}^{m-1+\frac{s-1}{2}} U_n \\ Q_{\text{в}} &= C_1 \sum_{n=2m+1-\frac{s-1}{2}}^{2m+\frac{s-1}{2}} U_n + C_3 \sum_{n=2m-\frac{s-1}{2}}^{2m+\frac{s-1}{2}} U_n + C'_3 \sum_{n=2m+2-\frac{s-1}{2}}^{2m+2+\frac{s-1}{2}} U_n + C_5 \sum_{n=2m-1-\frac{s-1}{2}}^{2m-1+\frac{s-1}{2}} U_n \end{aligned} \right\} \quad (2)$$

где U_n — потенциал n -го транспортера, который, согласно [2], определяется выражением:

$$U_n = \begin{cases} U_B \frac{\operatorname{sh} \frac{m-n+1}{2} \gamma \operatorname{sh} \frac{n}{2} \gamma}{\operatorname{sh} \frac{m}{2} \gamma \operatorname{sh} \frac{\gamma}{2}} & 1 \leq n \leq m, \\ U_B \frac{\operatorname{sh} \frac{m-n+1}{2} \gamma \operatorname{sh} \frac{2m-n}{2} \gamma}{\operatorname{sh} \frac{m}{2} \gamma \operatorname{sh} \frac{\gamma}{2}} & m+1 \leq n \leq 2m. \end{cases} \quad (3)$$

Здесь

$$\gamma = \ln \frac{\sqrt{1 + \frac{4C_2}{C_3}} + 1}{\sqrt{1 + \frac{4C_2}{C_3}} - 1} \approx \ln \frac{\kappa_i + 1}{\kappa_i - 1},$$

$$\kappa_i = \frac{1}{\operatorname{th} \frac{m}{2} \gamma \operatorname{th} \frac{\gamma}{2}}$$

безразмерные коэффициенты, не зависящие от времени, в силу чего и потенциалы транспортеров не изменяются в промежутке между коммуникациями.

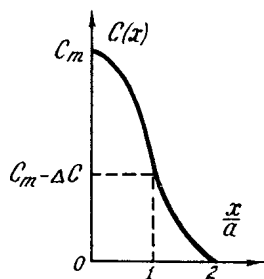


Рис. 2

Закон изменения частичной емкости транспортера относительно элемента поверхности статора определялся путем моделирования в электролитической ванне при изменении геометрии модели в пределах, соответствующих реальным конструкциям ЭСГП. Обобщенная кривая, характеризующая этот закон, показана на рис. 2. Здесь x — перемещение оси транспортера относительно середины элемента статора, a — расстояние между осями соседних транспортеров или серединами соседних элементов статора (x и a измеряются вдоль одной и той же окружности).

Очевидно, при $t=0$

$$C_1 = C_m(x=0); \quad C_3 = C'_3 = C_m - \Delta C(x=a); \quad C_5 \approx 0(x=2a)$$

и при $t=T$

$$C_1 = C_5 = C_m - \Delta C(x=a); \quad C_3 = C_m(x=0); \quad C'_3 \approx 0(x=2a).$$

Для упрощения дальнейших расчетов кривую рис. 2 с достаточной степенью точности можно аппроксимировать двумя прямолинейными от-

резками, общая точка которых имеет абсциссу $x=2a$. В этом случае можно записать:

$$\left. \begin{aligned} C_1(t) &= C_m - \Delta C \frac{t}{T} \\ C_3(t) &= C_m - \Delta C \left(1 - \frac{t}{T}\right) \\ C'_3(t) &= (C_m - \Delta C) \left(1 - \frac{t}{T}\right) \\ C_5(t) &= (C_m - \Delta C) \frac{t}{T} \end{aligned} \right\}, \quad (4)$$

причем $C_3 - C_0 = C_1 + C_3 + C'_3 + C_5 = 3C_m - 2\Delta C$.

Тогда из уравнений (1—4) следует:

$$i_{in} = -i_{ib} = [AC_m - (A - B)\Delta C] \frac{\kappa_i U_b}{T}, \quad (5)$$

где

$$A = 3 - \frac{\operatorname{ch} \frac{m-s}{2} \gamma (2\operatorname{ch} \gamma + 1)}{\operatorname{ch} \frac{m}{2} \gamma \operatorname{ch} \frac{\gamma}{2}}; \quad B = 1 - \frac{\operatorname{ch} \frac{m-s}{2} \gamma}{\operatorname{ch} \frac{m}{2} \gamma \operatorname{ch} \frac{\gamma}{2}}.$$

Анализ последних выражений показывает, что в реальных ЭСГП выполняется условие $A \approx 3$ и $B \approx 1$, тогда уравнение (5) принимает вид

$$i_{in} = -i_{ib} = (3C_m - 2\Delta C) \frac{\kappa_i U_b}{T} = 2mn\kappa_i (C_3 - C_0)U_b = I. \quad (6)$$

Таким образом, при кусочно-линейной аппроксимации кривой $C(x)$ токи индукторов не зависят от времени. Однако и использование других аппроксимирующих функций дает переменную составляющую, несопоставимую с постоянной.

Токи в статической модели

При расчете коммутационных процессов в первом приближении пренебрегаем индуктивностью цепи (малый параметр) и нелинейностью вольт-амперной характеристики искрового разряда. Сопротивление последнего $R = \text{const}$ будем считать одинаковым в зарядной и разрядной системах.

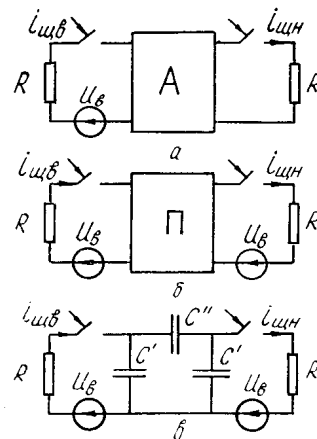


Рис. 3. Схема замещения ЭСГП при расчете коммутационного тока

Рассматривая ЭСГП как некоторый активный четырехполюсник по отношению к коммутационным промежуткам (щетка-транспортер), получим расчетную схему, изображенную на рис. 3, а, которая, после приведения к нулевым начальным условиям, примет вид, показанный на рис. 3, б. Появившиеся в последней схеме э.д.с. U_b равны разности потенциалов между щетками и подходящими к ним транспортерами t и $2t$ (это следует из уравнений (3)). Параметры П-образной схемы замещения пассивного четырехполюсника (рис. 3, в) можно получить из расчетной схемы замещения ЭСГП, предложенной в [2]:

$$C' = \kappa_1 C_s \operatorname{th}^2 \frac{m}{2} \gamma \approx \kappa_1 C_s,$$

$$C'' = \kappa_1 C_s \frac{\operatorname{th} \frac{m}{2} \gamma}{\operatorname{sh} m \gamma} \approx 0,$$

так как для реальных ЭСГП $\operatorname{th} \frac{m}{2} \gamma \approx 1$, а $\operatorname{sh} m \gamma \gg 1$.

Тогда

$$i_{\text{щн}} = i_{\text{шв}} = \frac{U_b}{R} \exp \left(-\frac{t}{\tau} \right), \quad (7)$$

где $\tau = \kappa_1 C_s R$.

Каждый из этих токов можно представить в виде суммы двух составляющих, одна из которых замыкается токами смещения в системе транспортеры — индуктор (i' , пропорциональная величине $C_s = C_0$), другая — в системе транспортеры — заземленные элементы конструкции ЭСГП (i'' , пропорциональная C_0):

$$i' = \frac{U_b (C_s - C_0)}{C_s R} \exp \left(-\frac{t}{\tau} \right), \quad (8)$$

$$i'' = \frac{U_b C_0}{C_s R} \exp \left(-\frac{t}{\tau} \right). \quad (9)$$

Мгновенные и средние значения токов

При выбранных положительных направлениях токов в цепях генератора (рис. 1) их мгновенные значения в интервале $0 \leq t \leq T$ определяются по принципу наложения с учетом формул (6—9) в виде:

$$i_{\text{щн}} = i_{\text{шв}} = i' + i'' = \frac{U_b}{R} \exp \left(-\frac{t}{\tau} \right),$$

$$i_{\text{ин}} = I - i' = 2mn\kappa_1 (C_s - C_0) - \frac{U_b (C_s - C_0)}{RC_s} \exp \left(-\frac{t}{\tau} \right),$$

$$i_{\text{иб}} = -I + i' = -2mn\kappa_1 (C_s - C_0) + \frac{U_b (C_s - C_0)}{RC_s} \exp \left(-\frac{t}{\tau} \right),$$

$$i_{\text{кз}} = I + i'' = 2mn\kappa_1 (C_s - C_0) + \frac{U_b C_0}{RC_s} \exp \left(-\frac{t}{\tau} \right).$$

Отсюда видно, что токи в цепях щеток имеют импульсный характер (длительность импульсов $\Delta t \ll T$). Остальные токи, кроме импульсной составляющей, содержат и постоянную (точнее — слабоизменяющуюся). Причем полярности этих составляющих одинаковы в токе короткого замыкания и противоположны в токах индукторов.

Средние за период $\left(I_{\text{ср}} = \frac{1}{T} \int_0^T i dt \right)$ значения токов равны:

$$I_{\text{кз}} = I_{\text{щи}} = I_{\text{щв}} = 2mkiC_s U_{\text{в}},$$

$$I_{\text{ив}} = I_{\text{ии}} = 0.$$

Выражение для среднего значения тока короткого замыкания совпадает с аналогичным выражением, полученным в [2]. А равенство средних значений токов щеток и тока короткого замыкания, так же, как и равенство нулю средних значений токов индукторов, подтверждается экспериментами, описанными в [3]. Это позволяет сделать вывод о правомерности принятых допущений и возможности использования вышеизложенной методики для анализа ЭСГП как динамической системы.

ЛИТЕРАТУРА

1. В. И. Левитов, А. Г. Ляпин. Электростатические генераторы с жестким ротором ч. 1, ЦИНТИЭлектром, 1963.
2. В. А. Лукутин, В. Д. Эськов. Изв. АН СССР, «Энергетика и транспорт», № 2, 1967.
3. А. М. Купцов, В. В. Пацевич. «Электричество», № 7, 1968.